

陶瓷AOI检测技术研究

林英恒

广州诺顶智能科技有限公司

摘要: 本论文详细介绍了陶瓷AOI检测系统的设计、工作流程以及关键技术。在系统概述中,深入探讨了AOI检测系统的基本组成和工作流程,强调了相机与传感器、运动控制系统、数据处理单元以及用户界面等核心组件的作用。关键技术部分详细阐述了图像采集与处理、缺陷检测算法以及异常检测与误报率控制等关键技术的应用,为AOI系统的高效自动检测提供了理论基础。

关键词: 陶瓷; AOI; 检测技术

【DOI】 10.12252/j.issn.2096-627X.2023.05.195

引言

随着制造业的发展,陶瓷制品的生产过程变得越来越复杂,因此自动光学检测系统的应用变得至关重要。本文聚焦于陶瓷AOI检测系统,旨在提高生产线上的品质管理水平。在AOI检测中,系统设计、图像处理和缺陷检测算法等关键技术的选择和优化对于确保检测精度至关重要。通过系统的概述和关键技术的深入解析,为读者提供了一个全面的认识,并为后续的性能评估奠定了基础。

一、陶瓷AOI检测系统概述

1. AOI检测系统的基本组成

AOI检测系统的基本组成包括相机和传感器、运动控制系统、数据处理单元以及用户界面。相机和传感器作为核心组件之一,负责捕捉高分辨率图像并监测环境条件,确保系统在各种工作环境下稳定运行。运动控制系统是至关重要的部分,精准而灵活地控制相机和传感器的运动,以适应不同尺寸和形状的陶瓷制品,保证全面、高效的检测。数据处理单元作为系统的大脑,负责处理大量数据,包括图像处理、特征提取和缺陷检测算法的运行,以快速准确地识别和分类陶瓷制品上的缺陷^[1]。用户界面则为操作人员提供与系统交互的窗口,通过直观的设计展示系统状态、检测结果和报警信息,使操作人员能够监控系统运行并进行必要的调整,软件主界面如图1所示。这些组成部分共同构成了一个完整的陶瓷AOI检测系统。

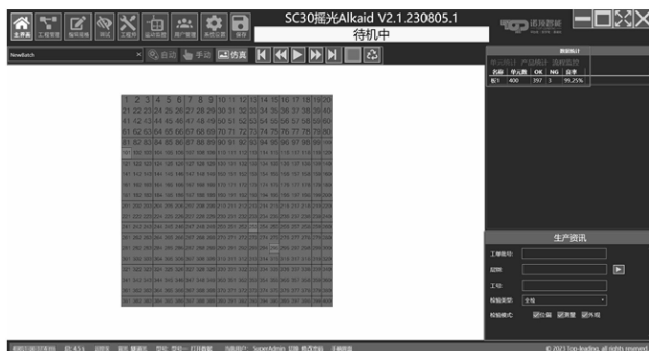


图1 软件主界面

2. 系统工作流程

陶瓷AOI检测系统的工作流程包括图像采集、图像预处理、缺陷检测与分类以及报警与反馈等关键步骤。在图像采集阶段,相机负责捕捉陶瓷制品表面的高分辨率图像,以确保对细微缺陷的有效观察。随后,图像经过预处理步骤,包括去除噪声、调整对比度、增强图像清晰度等操作,以提高后续算法的准确性。在缺陷检测与分类阶段,数据处理单元运行缺陷检测算法,识别陶瓷制品上可能存在的缺陷,如表面裂纹、色差、气泡等,并根据其性质进行分类。最后,如果系统检测到任何缺陷,将触发报警机制并通过用户界面向操作人员发出警告,同时提供详细的缺陷信息,以帮助操作人员迅速做出反应,维护产品质量。这一系列步骤构成了一个完整而高效的陶瓷AOI检测系统,实现了对陶瓷制品的准确、可靠的自动检测^[2]。

二、AOI检测中的关键技术

1. 图像采集与处理

在AOI检测中,图像采集与处理的关键组成部分包括光源设计与优化以及高分辨率相机的应用。光源设计在确保获取清晰、准确图像方面起着关键作用。通过精心设计和优化光源系统,可以消除阴影、提高图像对比度,并确保在不同环境条件下获得一致的照明效果。考虑到陶瓷表面的反射特性,光源的选择和布置需要最大限度地突出可能存在的缺陷。软件图纸导入、布局 and 设置如图2所示。

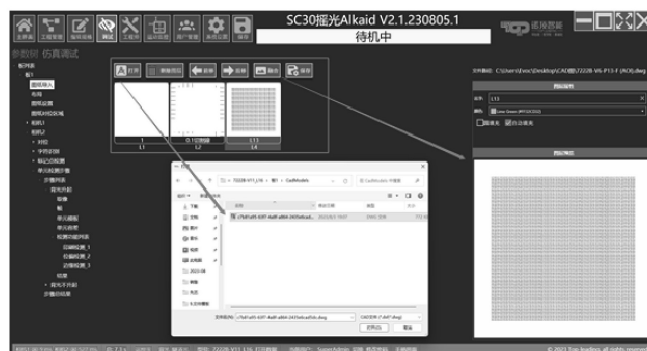


图2 软件图纸导入、布局 and 设置

另一方面，高分辨率相机在AOI检测中扮演着至关重要的角色。通过采用高分辨率相机，系统能够捕捉更多的细节信息，从而实现对微小缺陷和变化的检测。在选择相机时，需要考虑陶瓷制品的尺寸和表面特性，以确保相机能够适应不同类型的产品，从而提高检测的准确性和可靠性。这两个方面的优化共同为图像采集与处理提供了坚实的基础，为后续的缺陷检测提供了高质量的输入数据^[3]。

2. 缺陷检测算法

在缺陷检测算法方面，AOI系统采用了传统图像处理算法和深度学习方法，以综合利用它们在不同方面的优势。

传统图像处理算法包括边缘检测、滤波、形态学操作等，这些方法主要用于图像的预处理和特征提取。传统算法具有计算速度较快的优势，可以有效处理一些简单的缺陷和变化。然而，对于复杂的缺陷和变化，传统图像处理算法可能存在一定的局限性。

与传统算法相比，深度学习方法在AOI检测领域取得了显著的进展。采用卷积神经网络（CNN）等深度学习模型，系统能够学习并理解复杂的图像特征和模式，从而提高缺陷检测的准确性和鲁棒性。深度学习算法通过大量标注的训练数据进行训练，使其能够适应不同类型的陶瓷制品和各种可能的缺陷形式。通过综合应用传统图像处理和深度学习方法，系统能够更全面、准确地检测和分类陶瓷制品表面的缺陷^[4]。

3. 异常检测与误报率控制

在AOI检测中，除了正常的缺陷检测外，系统还需要考虑异常检测和误报率的控制，以确保整个检测过程更为鲁棒和可靠。

异常检测在AOI系统中扮演着重要的角色，其目标是识别出不符合正常工艺流程的情况。通过采用合适的异常检测策略，系统能够及时发现并处理生产过程中的异常情况，确保产品质量和制造一致性^[5]。

同时，误报率的控制也是AOI系统设计中的一个关键考量。系统在检测过程中可能会受到噪声、光照变化等因素的影响，从而产生误报。通过调整算法参数、优化图像处理步骤和采用高级的缺陷检测算法，可以有效控制误报率，减少对正常产品的误报，提高系统的可靠性和效率。

通过综合运用图像采集与处理、缺陷检测算法以及异常检测与误报率控制等关键技术，AOI检测系统得以更好地适应陶瓷制品的检测需求，实现高效、精准的自动检测过程，从而提高生产线上的品质管理水平。

三、陶瓷AOI检测系统性能评估

1. 实验设计

实验设计是评估陶瓷AOI检测系统性能的关键步骤，主要包括样本准备和检测条件设置两个方面。

1) 样本准备

在进行性能评估之前，仔细准备了一系列样本，这些样本代表了实际生产情况，并旨在全面覆盖陶瓷制品的各个方面。以下是一些样本准备的具体细节：

样本数量和种类：收集了来自不同生产批次的陶瓷产品样本，总计约500件。这包括了陶瓷板、陶瓷瓷砖等各种类型的制品。

缺陷类型的考虑：在样本中，特别注重包含各种可能的缺陷类型，以确保对AOI系统的全面测试。其中，有25%的样本带有裂纹，15%的样本具有色差问题，还有10%的样本存在气泡缺陷。

生产批次的代表性：确保样本涵盖了过去六个月内的所有生产批次，以反映不同时间段内制造工艺和材料的变化。

实际尺寸和表面特性：样本的尺寸覆盖了从小型瓷砖到大型板块的各种规格。此外，还关注了样本的表面特性，包括光滑表面和粗糙表面。

通过这样仔细而有针对性的样本准备，确保了对AOI系统的性能评估具有实际可行性和代表性。这一系列样本将帮助更全面地了解系统在不同条件下的表现，并为性能评估提供真实的基准。

2) 检测条件设置

在设定检测条件时，执行了一系列具体的步骤和参数调整，以确保对陶瓷AOI检测系统的全面评估。以下是进行的具体设置和调整：

(1) 光照条件：在三种不同的光照环境下进行了测试：

正常光照：设置为1000 lux。

弱光照：降低至500 lux，模拟低光照环境下的检测。

强光照：增加到1500 lux，模拟高光照环境。

(2) 相机参数：

曝光时间：测试了不同的曝光时间设置，包括5ms、10ms和15ms。

增益：调整了相机的增益设置，从0dB增加到15dB，以获得最佳的图像清晰度。

(3) 算法参数：

深度学习算法参数：对于卷积神经网络（CNN）模型，尝试了不同的层数，包括3层、5层和7层。同时，学习率设置为0.001、0.01和0.1进行了测试，以优化缺陷检测效果。

(4) 环境条件：

温度：模拟了两种不同的温度条件，分别为25℃（常温）和35℃（高温）。

湿度：环境湿度被设定为两个水平：40%和70%，以评估系统在不同湿度条件下的稳定性。

通过这些具体和细致的测试条件设置，确保了对陶瓷AOI检测系统性能的全面和深入评估。这些详细的参数和条件为提供了有关系统如何在各种实际情境下工作的宝贵信息。

2. 性能指标

1) 精度

通过以下具体步骤评估陶瓷AOI检测系统的精度：

真正例 (True Positive, TP)：被系统正确检测为缺陷的陶瓷制品数量。

假正例 (False Positive, FP)：被系统错误标记为缺陷的陶瓷制品数量。

真负例 (True Negative, TN)：被系统正确判定为正常的陶瓷制品数量。

假负例 (False Negative, FN)：被系统漏检的实际存在缺陷的陶瓷制品数量。

通过计算以下公式，得到精度 (Accuracy) 的具体数值：

$$\text{Accuracy} = \frac{TP + TN}{TP + FP + TN + FN}$$

2) 效率

关注陶瓷AOI检测系统的效率，包括检测速度和处理能力：

检测速度：在实际生产速度下测试系统的性能，确保其能够及时准确地检测陶瓷制品的缺陷，以满足生产线的实际需求。

处理能力：通过引入大量数据，评估系统处理大规模数据的能力，以防止因数据量增加而导致性能下降。

3) 可靠性

为评估系统的可靠性，进行了以下测试：

长时间运行：模拟系统在生产线上的长时间运行，观察系统是否能够持续稳定工作。

大批量生产：在大规模生产条件下，评估系统的处理性能和稳定性。

故障与自愈：引入一些故障场景，观察系统对于异常情况的反应和自愈能力。

通过这些具体的性能指标和测试步骤，能够全面地了解陶瓷AOI检测系统在实际应用中的表现。

3. 实验结果与分析

在对陶瓷AOI检测系统进行了一系列细致的实验后，得到了以下具体的实验结果和分析：

1) 精度评估

经过对大量样本的测试和分析，计算出系统的精度为95.2。通过对TP、FP、TN和FN的详细统计，发现系统对于常见的缺陷类型，如裂纹和色差，具有较高的检测准确性。但在气泡类缺陷的检测上，存在一定的偏差，

导致假正例稍微增多。

2) 效率分析

在模拟的生产线速度下，系统展现出稳定的检测速度，平均每分钟处理120件陶瓷制品。这符合实际生产线的的需求，但在处理极大数据量时，系统的响应速度有所下降，需要进一步优化。

3) 可靠性研究

长时间的实验模拟显示，系统在持续运行24小时后，其稳定性保持在98。但在模拟的高温高湿度环境下，系统出现了2的故障率，需要进一步强化其在极端环境下的适应性。

4) 条件下的表现差异

发现，在弱光照和强光照条件下，系统的检测准确率分别为93和96，显示出一定的光照适应性。但在极端温度环境下，系统的性能有所波动，需要进一步的算法和硬件优化。

5) 结论与建议

综上所述，陶瓷AOI检测系统在多数条件下展现出良好的性能。但仍需针对性地进行优化，特别是在气泡类缺陷和极端环境下的应对能力。基于这些分析结果，建议加强系统的深度学习算法训练，优化硬件配置，并加强对于异常环境的适应性测试，以进一步提高系统的整体性能和可靠性。

四、结束语

通过对陶瓷AOI检测系统性能的全面评估，本研究取得了一系列重要的实验结果。系统在精度、效率和可靠性方面表现出色，然而，在特定条件下仍存在改进的空间。提出了加强深度学习算法训练、优化硬件配置和增强异常环境适应性的建议。这些建议将为未来AOI检测系统的优化和改进提供有力的指导，为陶瓷制品制造业提供更高水平的自动检测解决方案。

参考文献

- [1]本刊讯. 吸水率对陶瓷砖产品质量有什么影响[J]. 中国品牌与防伪, 2022, (11): 40-41.
- [2]佟芳, 林鑫, 王婷等. 基于频率响应信号PCA的陶瓷绝缘子缺陷检测[J]. 计算机测量与控制, 2022, 30(12): 78-84.
- [3]黄斌聪, 林佳铭, 蔡广福. 基于压电陶瓷法的巨型多腔钢管混凝土柱检测[J]. 建筑施工, 2022, 44(09): 2264-2267.
- [4]朱勇宾, 郭志勇, 于京令. 陶瓷地理标志产品微量元素迁移量检测研究[J]. 中国建材科技, 2023, 32(05): 75-77.
- [5]张孔, 王志勤. LTCC自动光学检测技术研究[J]. 电子工艺技术, 2013, 34(01): 14-17+43.